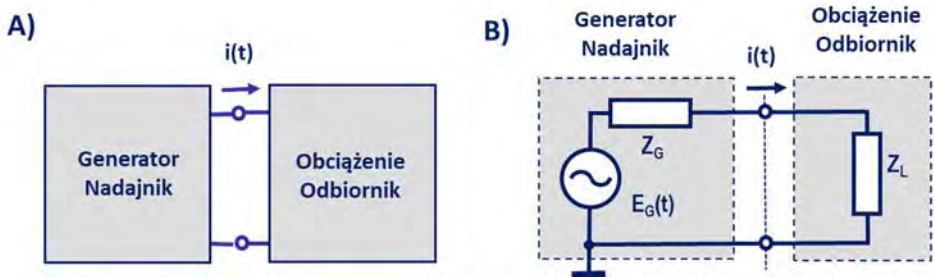


Rozdział 2

Propagacja fal w linii długiej

2.1. Wprowadzenie

W rozdziale 2 opisane zostaną zjawiska i efekty zachodzące w linii długiej w procesie propagacji fali. Z teorii obwodów wiemy, że rozwiązanie problemu transmisji mocy w najprostszym, pokazanym na rys. 2.1A układzie generator /nadajnik – obciążenie /odbiornik sprowadza się często do znalezienia prądu $i(t)$ płynącego w czasie t do obciążenia.

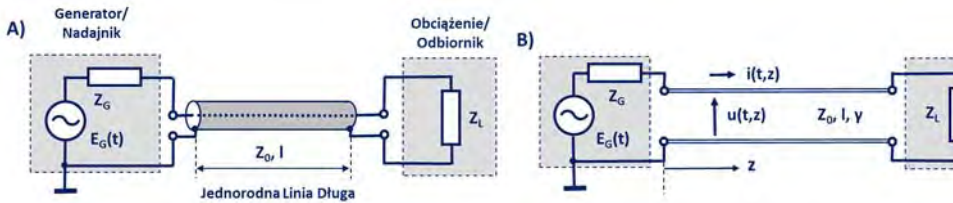


Rys. 2.1. Obwodowe rozwiązanie problemu transmisji mocy sygnału w układzie generator / nadajnik – obciążenie / odbiornik. **A)** Bezpośrednie połączenie obu układów. **B)** Obwodowa reprezentacja obu układów.

Aby znaleźć płynący prąd $i(t)$, posługujemy się pojęciami idealnego źródła napięciowego i impedancji. Dochodzimy wtedy do obwodu pokazanego na rys. 2.1B. Do wyznaczenia prądu $i(t)$ wystarczy posłużyć się prawem Ohma.

Znalezienie prądu $i(t)$ płynącego do obciążenia w układzie pokazanym na rys. 2.2A już nie jest takie proste. Tutaj generator / nadajnik połączono z obciążeniem / odbiornikiem odcinkiem współosiowej, dwuprzewodowej linii długiej. Różnica wynika z faktu, że w linii długiej zostaje wzbudzona fala płynąca od generatora do obciążenia i często druga fala biegnąca do generatora. W tych warunkach prąd na zaciskach generatora nie jest już równy prądowi wpływającemu do obciążenia. Na rys. 2.2B przewodnicę falową reprezentuje dwuprzewodowa linia długa. Prąd $i(t, z)$ i napięcie $u(t, z)$ są funkcjami miejsca i czasu.

Rozwiązanie nakreślonego problemu zacznijmy od uwagi o tym, jaką linię nazywamy długą. Linię będziemy traktowali jako długą, gdy jej fizyczna długość będzie porównywalna z długością fali propagowanego przez nią sygnału. Tak więc dla fali o długości 100 cm (300 MHz) – długą będzie odcinek kabla koncentrycznego o fizycznej długości 10 cm, a dla fali o długości 3 mm (100 GHz) – długą będzie połączenie między elementami układu scalonego wykonanego na arsenku galu o długości fizycznej 300 μm .



Rys. 2.2. Linia długa łączy generator / nadajnik z obciążeniem / odbiornikiem. **A)** Połączenie realizowane linią koncentryczną. **B)** Dwuprzewodowa linia długa reprezentuje przewodnicę falową.

Układy elektronowe takie jak: wzmacniacze, oscylatory, filtry, mieszacze i wiele innych, konstruowane na pasma radiowe, mikrofalowe i fal milimetrowych, zawierają odcinki linii długich. Dlatego zapoznanie się z teorią linii długiej, ze sposobami obliczania parametrów obwodów zawierających odcinki linii długich jest koniecznością.

Lista pojęć, z którymi zapoznamy się w tym rozdziale i których znaczenie powinniśmy zrozumieć, jest długa. Zaczniemy od podania równań opisujących zjawiska propagacji fali, potem opiszemy rozwiązania tych równań, fale rozchodzące się w układzie: generator – linia długa – obciążenie. Aby zrozumieć rezultaty obecności linii długiej w obwodzie, opiszemy ją kilkoma parametrami: stałymi propagacji – tłumienia i fazową – oraz impedancją charakterystyczną. Podamy pojęcia współczynnika odbicia i omówimy warunki transmisji mocy linią długą. Aby móc wykorzystywać obwodowy opis układu z linią długą, wprowadzimy operację zwaną transformacją impedancji.

Podamy też dużo nowych pojęć i definicji, które będą wykorzystywane w dalszych rozdziałach książki. Poznanie i przyswojenie ich jest niezbędne, by zrozumieć treść zawartego dalej materiału.

2.2. Równania linii długiej

2.2.1. Linia dwuprzewodowa

Linia dwuprzewodowa była pierwszą przewodnicą falową zastosowaną już w XIX wieku w telegrafii Morse'a. Linia miała strukturę pokazaną na rys. 2.3A. Dwa przewody metalowe, zwykle miedziane, umieszczone są równolegle w odległości określonej wymiarami paska małostratnego dielektryka, pełniącego rolę dystansownika.

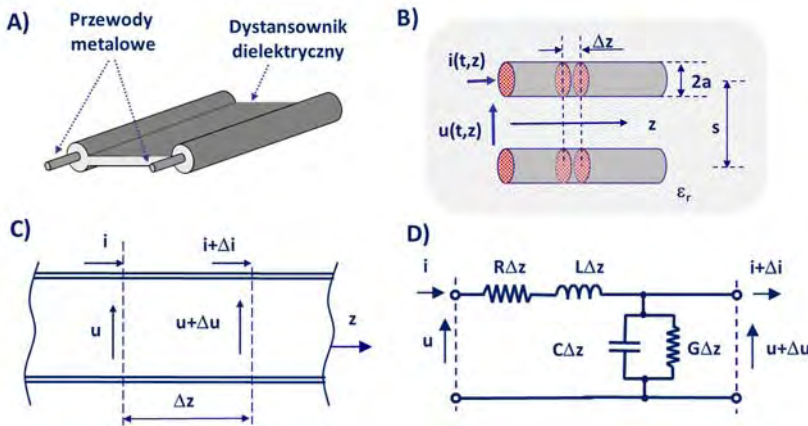
Na rys. 2.3B pokazano idealną strukturę linii, w której dwa równoległe przewody metalowe o średnicy $2a$ „zanurzone” są w materiale dielektrycznym o przenikalności względnej ϵ_r . W analizie przyjęto, że żaden z tych materiałów nie jest idealnym przewodnikiem, czy też dielektrykiem.

W przewodzie płynie prąd $i(t, z)$, którego wartość jest funkcją czasu t i odległości z . Między przewodami istnieje napięcie $u(t, z)$, którego wartość jest funkcją obu wymienio-

nych zmiennych. Przepływ prądu powoduje, że przewody otacza pole magnetyczne. Obecność napięcia między przewodami skutkuje istnieniem pola elektrycznego między nimi. Natężenia pól elektrycznego i magnetycznego powiązane są równaniami Maxwella.

Rozwiązując je, można otrzymać szukane zależności $i(t, z)$ oraz $u(t, z)$. Jednakże w rozdziale 2 przedstawione zostanie inne, prostsze rozwiązanie problemu propagacji sygnału wzdłuż linii dwuprzewodowej, oparte na analizie czwórnikowej elementarny obwód o długości Δz . Czwórnik ten przedstawiono na rys. 2.3D, wprowadzając następujące oznaczenia:

- $R_{[\Omega/m)}$ – rezystancja na jednostkę długości,
- $L_{[H/m)}$ – indukcyjność na jednostkę długości,
- $G_{[S/m)}$ – przewodność na jednostkę długości,
- $C_{[F/m)}$ – pojemność na jednostkę długości.



Rys. 2.3. Obiekt analizy – dwuprzewodowa linia długa. **A)** Linia dwuprzewodowa z dielektrycznym dystansownikiem. **B)** Przewody metalowe zanurzone w materiale dielektrycznym o przenikalności ϵ_r . **C)** Oznaczenia napięć i prądów w elementarnym czwórniku o długości Δz . **D)** Obwód zastępczy elementarnego odcinka linii długiej o długości Δz .

2.2.2. Równania telegrafistów

Zmienne $u(z, t)$ i $i(z, t)$ opisane są wyprowadzonymi przez Kelvina równaniami różniczkowymi, zwanymi równaniami telegrafistów. Równania te poznamy w prostej formie, gdyż wyprowadzimy je i rozwiążemy dla prostych i najczęściej spotykanych przypadków, zgodnie z założeniami 1 i 2.

ZAŁOŻENIE 1: $u(t)$ i $i(t)$ są harmonicznymi funkcjami czasu – wielkości te są sinusoidalnymi funkcjami czasu o pulsacji ω . Wprowadzamy nowe, ważne wielkości, którymi będziemy się wielokrotnie posługiwali. Są to: $U(z)$ – zespolona amplituda napięcia oraz $I(z)$

– zespolona amplituda prądu. Ich związki z chwilowymi wartościami $u(z, t)$ i $i(z, t)$ są następujące:

$$\begin{aligned} u(t, z) &= \operatorname{Re}\{U(z)e^{j\omega t}\}; \\ i(t, z) &= \operatorname{Re}\{I(z)e^{j\omega t}\}; \end{aligned} \quad (2-1)$$

Wykorzystując dalej elementy obwodu zastępczego z rys. 2.3D wprowadzimy impedancję $Z_{[\Omega/m]}$ i admitancję $Y_{[S/m]}$, oraz bardzo ważny parametr γ nazywany stałą propagacji:

$$\begin{aligned} Z_{[\Omega/m]} &= R + j\omega L; \\ Y_{[S/m]} &= G + j\omega C; \\ \gamma^2 &= YZ; \end{aligned} \quad (2-2)$$

$$(2-3)$$

Założenie 2: Linia jest jednorodna, Z i Y nie zmieniają się z odległością. Założenie to oznacza, że zaznaczone na rys. 2.3B parametry linii: średnica przewodów a , ich odległość s oraz przenikalność ϵ ; dielektryka otaczającego przewody pozostają stałe i niezależne od z . Nie przedstawimy tutaj szczegółowych wyprowadzeń. Końcowy rezultat przekształceń ma postać tzw. **równań telegrafistów**, nazywanych też równaniami linii długiej, zapisanych w postaci (2-4) i (2-5):

$$\frac{d^2 U}{dz^2} - \gamma^2 U = 0; \quad (2-4)$$

$$\frac{d^2 I}{dz^2} - \gamma^2 I = 0; \quad (2-5)$$

Jak widać, zespolone amplitudy prądu $U(z)$ i $I(z)$ jednorodnej linii długiej związane są prostymi równaniami różniczkowymi ze stałą propagacji γ . Stała propagacji γ reprezentuje parametry linii długiej, rozmiary przewodów i parametry ośrodka dielektrycznego.

Należy zauważyć, że identyczny kształt równań uzyskujemy z równań Maxwella dla pól E i H . Równania te nazywane są równaniami falowymi.

W kolejnym punkcie zapoznamy się z rozwiązaniem równań (2-4) i (2-5) oraz przedyskutujemy obszernie wnioski wypływające z tych rozwiązań.

2.2.3. Rozwiązania równań: fale postępująca i odbita

Równania telegrafistów są równaniami różniczkowymi. Równania różniczkowe (2-4) i (2-5) mają znaną i prostą postać rozwiązań, podaną zależnościami (2-6a) i (2-6b).

$$U(z) = U_1 e^{-\gamma z} + U_2 e^{\gamma z}; \quad (2-6a)$$

$$I(z) = I_1 e^{-\gamma z} + I_2 e^{\gamma z}; \quad (2-6b)$$

Rozwiązania są dwuczłonowe, składniki z indeksem „1” reprezentują falę rozchodzącą się wzdłuż osi z , składniki z indeksem „2” reprezentują falę rozchodzącą się w przeciwną stronę niż zwrot osi z . Rozwiązania mają prostą, uniwersalną i oczywistą interpretację:

- ✓ U_1, I_1 – stałe całkowania, zespolone amplitudy napięcia i prądu fali rozchodzącej się zgodnie ze zwrotem osi z , jest to fala postępująca.
- ✓ U_2, I_2 – stałe całkowania, zespolone amplitudy napięcia i prądu fali rozchodzącej się w stronę przeciwną do zwrotu osi z , nazywamy ją falą odbitą albo wtórną.

Należy mieć na uwadze, że dla każdego typu przewodnicy falowej, w której propagowany jest jeden mod fali, można przyjąć obwód zastępczy w postaci linii dwuprzewodowej taki, jak na rys. 2.3D. W każdym takim przypadku, przy propagacji monoczęstotliwościowego sygnału, amplitudy napięcia i prądu, związane są z parametrami obwodu równaniami telegrafistów, a ich rozwiązania mają postać równań (2-6a) i (2-6b). Ich interpretacja jest także identyczna.

2.2.4. Stała propagacji

Warunki propagacji fali określają prędkość rozchodzenia, długość fali oraz jej tłumienie. Wprowadzona zależnością (2-3) i występująca w rozwiązaniach (2-6a) i (2-6b) **stała propagacji** γ jest bardzo ważnym parametrem. W ogólnym przypadku stała propagacji jest wielkością zespoloną i można zapisać ją w następującej postaci:

$$\gamma = \alpha + j\beta; \quad (2-7)$$

Korzystając z tej formy zapisu, zależność (2-6a) może być zapisana następująco:

$$U(z) = U_1 e^{-\alpha z} e^{-j\beta z} + U_2 e^{\alpha z} e^{j\beta z}; \quad (2-8)$$

Interpretacja fizyczna obu składników $\alpha + j\beta$ jest oczywista:

- ✓ część rzeczywista α stałej propagacji γ nazywana jest **stałą tłumienia**. Stała tłumienia $\alpha_{\text{[Np/m]}}$ decyduje o szybkości strat mocy fali biegnącej wzdłuż linii,
- ✓ część urojona β stałej propagacji γ nazywana jest **stałą fazową**. Stała fazowa $\beta_{\text{[rad/m]}}$ decyduje o szybkości zmian fazy fali biegnącej wzdłuż linii, a tym samym o długości fali λ .

Powróćmy do zależności (2-3), aby znaleźć, jak α i β zależą od parametrów R, G, L i C obwodu zastępczego z rys. 2.3D.

$$\gamma = \sqrt{YZ} = \sqrt{(R + j\omega L)(G + j\omega C)}; \quad (2-9)$$

Zwykle spełnione są następujące warunki: $R/\omega L \ll 1$ oraz $G/\omega C \ll 1$, gdyż w praktycznych rozwiązaniach konstrukcji linii dwuprzewodowych przewody wykonane są z dobrze

przewodzącego metalu i otoczone małostratnym dielektrykiem. Wtedy stałe α i β można zapisać następująco:

$$\alpha \cong \frac{G}{2} \sqrt{\frac{L}{C}} + \frac{R}{2} \sqrt{\frac{C}{L}}; \quad (2-10)$$

$$\beta \cong \omega \sqrt{LC}; \quad (2-11)$$

W zależności (2-10) drugi ze składników zwykle dominuje nad pierwszym.

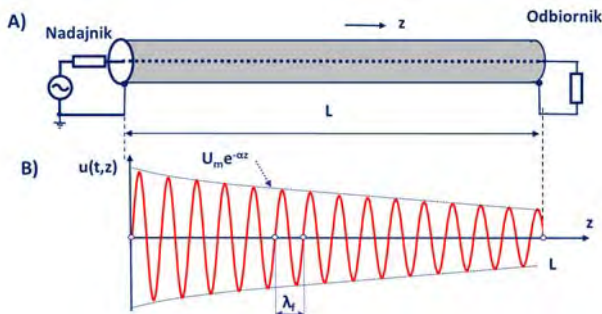
Gdy mówimy o prędkości propagacji fali musimy wyróżnić **prędkość fazową** i **prędkość grupową**. Prędkość fazowa v_f propagowanej fali jest prędkością, z jaką przesuwa się płaszczyzna stałej fazy. Prędkość v_f związana jest z wartością stałej fazowej β :

$$\beta = \frac{\omega}{v_f} = \frac{2\pi}{\lambda_f}; \quad v_f = \frac{dz}{dt} = \frac{\omega}{\beta}; \quad (2-12)$$

Prędkość grupowa v_g propagowanej fali jest prędkością przepływu energii. Można ją wyznaczyć z zależności (2-13):

$$v_g = \frac{d\omega}{d\beta}; \quad (2-13)$$

Linia dwuprzewodowa i linia współosiowa należą do grupy przewodnic TEM (ang. *Transverse Electro-Magnetic*). W przewodnicach tego typu wektory natężeń pól elektrycznego i magnetycznego są do siebie prostopadłe i prostopadłe do kierunku propagacji. Poza tym obie prędkości: fazowa i grupowa są sobie równe. W falowodach prostokątnych i cylindrycznych, w których propagowane są mody *TE* albo *TM*, prędkości fazowa i grupowa różnią się. Więcej informacji o właściwościach różnego typu przewodnic falowych przedstawimy w rozdziale 3.



Rys. 2.4. Prezentacja rozwiązania propagacji fali w linii długiej łączącej nadajnik z odbiornikiem. **A)** Dwuprzewodowa linia współosiowa jako przykład linii długiej. **B)** Napięcie $u(z)$ fali propagowanej w kierunku odbiornika w danym czasie t . Amplituda maleje wykładniczo jak $\exp(-\alpha z)$. Długość fali λ_f zależy od wartości stałej fazowej β .

Na rys. 2.4 przedstawiono ilustrację rozwiązania problemu propagacji fali opisanego równaniami telegrafistów. W obwodzie przedstawionym na rys. 2.4A nadajnik / generator połączony jest z odbiornikiem / obciążeniem odcinkiem linii długiej, w tym przypadku współosiowej. W linii długiej nadajnik wzbudza falę propagowaną w kierunku odbiornika – rys. 2.4B. Stała tłumienia α określa szybkość zmniejszania amplitudy fali. Stała fazowa β określa długość fali λ_f .

2.2.5. Impedancja charakterystyczna

Zespolone amplitudy napięcia $U(z)$ i prądu $I(z)$ opisane są zależnościami (2-6). Określimy teraz związki między nimi. Stosunki zespolonych amplitud napięcia i prądu dla obu propagowanych fal: postępującej i odbitej są sobie równe z dokładnością do znaku, co pokazuje zależność (2-14). Jest to definicja **impedancji charakterystycznej** Z_0 .

$$Z_0 = \frac{U_1}{I_1} = -\frac{U_2}{I_2}, \quad (2-14)$$

Wartość impedancji charakterystycznej jest bardzo ważnym parametrem przewodnicy falowej. Impedancja charakterystyczna Z_0 jest funkcją rozmiarów przewodnicy i parametrów ośrodka.

$$Z_0 = \sqrt{\frac{R+j\omega L}{G+j\omega C}} \cong \sqrt{\frac{L}{C}}, \quad (2-15)$$

Jak widać z powyższej zależności, dla przewodnicy bezstratnej Z_0 jest rzeczywiste. Dla przewodnicy z małymi stratami przyjmuje się także z dobrym przybliżeniem, że Z_0 jest rzeczywiste.

2.3. Fale w jednorodnej przewodnicy falowej

2.3.1. Napięcie i prąd wzdłuż linii

Powracamy do pokazanego na rys. 2.5 układu generator – przewodnica – obciążenie.



Rys. 2.5. Układ: generator, linia długa, obciążenie – do dyskusji problemów transmisji mocy i dopasowania.

Napiszemy najpierw rozwiązania równań linii długiej z nowymi oznaczeniami. Oznaczmy przez:

U_P, I_P – zespolone amplitudy napięcia i prądu fali pierwotnej, padającej.

U_W, I_W – zespolone amplitudy napięcia i prądu fali odbitej, wtórnej.

Odległość l liczona jest teraz od końca linii w stronę generatora, podczas gdy z liczona była od generatora w stronę obciążenia. Równania propagacji zapiszą się teraz następująco:

$$U(l) = U_P e^{\gamma l} + U_W e^{-\gamma l}; \quad (2-16)$$

$$I(l) = I_P e^{\gamma l} + I_W e^{-\gamma l};$$

Dla bezstratnej przewodnicy falowej, gdy $\gamma = j\beta$:

$$U(l) = U_P e^{j\beta l} + U_W e^{-j\beta l}; \quad (2-17)$$

$$I(l) = I_P e^{j\beta l} + I_W e^{-j\beta l};$$

Znamy już definicję impedancji charakterystycznej:

$$Z_0 = \frac{U_P}{I_P} = -\frac{U_W}{I_W}; \quad (2-18)$$

W powyższych równaniach występują amplitudy U_P, I_P, U_W i I_W . Należy znaleźć kolejne związki między nimi. Obciążenie reprezentowane jest w układzie na rys. 2.5 przez impedancję Z_L :

$$Z_L = \frac{U_L}{I_L} = \frac{1}{Y_L}; \quad (2-19)$$

Należy zauważyć, że $U_L = U(l=0)$ oraz $I_L = I(l=0)$, czyli:

$$Z_L = \frac{U_L}{I_L} = \frac{U_P + U_W}{I_P + I_W}; \quad (2-20)$$

Wykorzystując napisane związki, można wyznaczyć stosunek amplitud U_W/U_P :

$$\frac{U_W}{U_P} = \frac{Z_L - Z_0}{Z_L + Z_0}; \quad (2-21)$$

Otrzymaną zależność interpretujemy tak, że wartość amplitudy U_W napięcia fali odbitej zależy nie tylko od Z_L , ale także od wartości impedancji charakterystycznej Z_0 . Gdy $Z_L = Z_0$, w przewodnicy nie pojawi się fala odbita. Mówimy wtedy, że obciążenie dopasowane do impedancji charakterystycznej przewodnicy falowej jest obciążeniem bezodbiocowym.

Równania (2-16) i (2-17) można zapisać w innej formie. W ogólnym przypadku linii ze stratami otrzymuje się następujące zależności:

$$\begin{aligned}
 U(l) &= U_L \left(\cosh \gamma l + \frac{Z_0}{Z_L} \sinh \gamma l \right); \\
 I(l) &= I_L \left(\cosh \gamma l + \frac{Z_L}{Z_0} \sinh \gamma l \right);
 \end{aligned}
 \tag{2-22}$$

Dla linii bezstratnej funkcje hiperboliczne znikają i równania przyjmują prostszą postać:

$$\begin{aligned}
 U(l) &= U_L \left(\cos \beta l + j \frac{Z_0}{Z_L} \sin \beta l \right); \\
 I(l) &= I_L \left(\cos \beta l + j \frac{Z_L}{Z_0} \sin \beta l \right);
 \end{aligned}
 \tag{2-23a}$$

Można też zapisać je w innej formie, w pewnych przypadkach wygodniejszej w użyciu:

$$\begin{aligned}
 U(l) &= U_L \cos \beta l + j I_L Z_0 \sin \beta l; \\
 I(l) &= I_L \cos \beta l + j \frac{U_L}{Z_0} \sin \beta l;
 \end{aligned}
 \tag{2-23b}$$

2.3.2. Współczynnik odbicia

Zdefiniowany zostanie teraz bardzo ważny parametr określający związek między falą odbitą i padającą. **Współczynnik odbicia** Γ jest miarą stosunku zespolonych amplitud fali odbitej do padającej. Definiujemy go następująco:

$$\Gamma(l) = \frac{U_W}{U_P} e^{-2\gamma l};
 \tag{2-24}$$

Na końcu linii, dla $l = 0$, współczynnik odbicia przyjmuje wartość Γ_L :

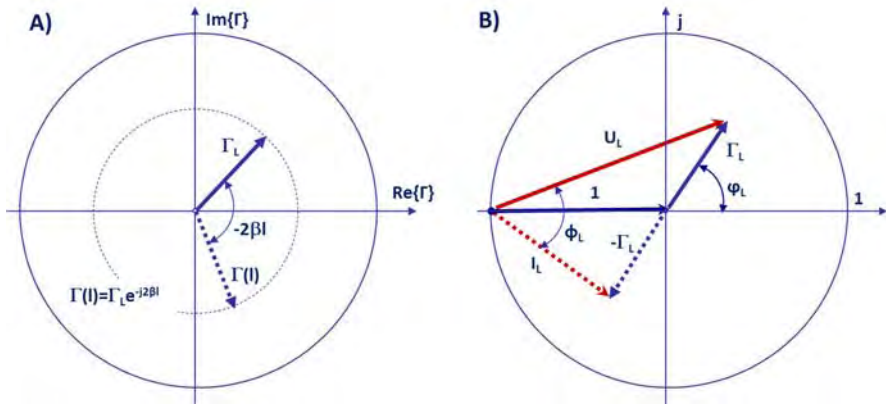
$$\Gamma_L = \frac{U_W}{U_P} = \frac{Z_L - Z_0}{Z_L + Z_0} = \frac{Y_0 - Y_L}{Y_0 + Y_L};
 \tag{2-25}$$

Współczynnik odbicia Γ_L – podobnie jak Z_L lub Y_L – jest parametrem charakteryzującym jednowrotnik / obciążenie umieszczone na końcu linii. Współczynnik Γ_L jest, inaczej mówiąc, zespoloną miarą niedopasowania obciążenia do impedancji charakterystycznej Z_0 .

Współczynnik odbicia $\Gamma(l)$ zależy od wartości Γ_L na końcu linii oraz od odległości l od końca linii. Zależność ta ma następującą postać:

$$\Gamma(l) = \Gamma_L e^{-2\gamma l} |_{\alpha=0} = \Gamma_L e^{-j2\beta l};
 \tag{2-26}$$

Napisana wyżej zależność (2-26) nazywana jest równaniem transformacji współczynnika odbicia.



Rys. 2.6. Ilustracja współczynnika odbicia na płaszczyźnie zespolonej. **A)** Transformacja współczynnika odbicia wzdłuż bezstratnej linii. **B)** Wskazy napięcia U_L i prądu I_L na zaciskach impedancji obciążenia.

Ilustracja procesu transformacji współczynnika $\Gamma(l)$ pokazana jest na rys. 2.6A. Wskaz Γ wiruje zgodnie ze wskazówkami zegara w miarę powiększania odległości l od obciążenia. Dla linii ze stratami długość wskaz $|\Gamma|$ maleje wykładniczo z odległością, dla linii bezstratnej $|\Gamma| = \text{const}$.

Obciążenie umieszczone na końcu linii reprezentowane jest zwykle przez impedancję $Z_L = R_L + jX_L$. Wtedy zależność (2-26) przyjmie postać (2-27):

$$\Gamma_L = \frac{R_L - Z_0 + jX_L}{R_L + Z_0 + jX_L}, \quad (2-27)$$

Logarytmiczną miarą współczynnika odbicia są **straty odbicia** L_r (ang. *return loss*), definiowane następująco:

$$L_{r\text{dB}} = -20 \log |\Gamma_L|; \quad (2-28)$$

Wykorzystamy wyprowadzoną zależność (2-27) do analizy kilku charakterystycznych przypadków.

Przypadek 1.

Mówimy, że umieszczony na końcu przewodnicy jednowrotnik, nazywany też obciążeniem, jest dopasowany do impedancji charakterystycznej tej przewodnicy, jeżeli $\Gamma_L = 0$. Zgodnie z (2-25) stan dopasowania powstanie, gdy $Z_L = Z_0$.

Przypadek 2.

Stan pełnego odbicia mocy powstaje wtedy, gdy $|\Gamma_L| = 1$ i amplitudy obu fal: padającej i odbitej są sobie równe. Pełne odbicie mocy ma miejsce, gdy obciążenie jest czystą reaktancją $Z_L = jX_L$. Wartość reaktancji X_L ma wpływ na argument współczynnika odbicia, jego moduł równy jest 1.

$$\Gamma_L = \frac{jX_L - Z_0}{jX_L + Z_0} = e^{j(\pi - 2\arctg X_L/Z_0)}; \quad (2-29)$$

Przypadek 3.

Impedancja obciążenia jest liczbą zespoloną $Z_L = R_L + jX_L$. Jeśli część rzeczywista $R_L > 0$, to część mocy ($|I_L|^2 R_L/2$) fali padającej zostaje pochłonięta przez obciążenie i amplituda fali odbitej jest wtedy mniejsza od amplitudy fali padającej, a $|\Gamma_L| < 1$.

Przypadek 4.

Gdy amplituda fali odbitej jest większa od amplitudy fali padającej, mamy do czynienia ze wzmocnieniem mocy, z obciążeniem aktywnym. W modelu impedancyjnym obciążenie takie reprezentowane jest przez impedancję z ujemną rezystancją. Gdy $|\Gamma_L| > 1$, wtedy $R_L < 0$.

2.3.3. Fala stojąca

W tym punkcie wyprowadzimy odpowiednie formuły opisujące rozkład napięcia wzdłuż linii długiej. Powracamy do układu z rys. 2.5 z generatorem, przewodnicą i obciążeniem. Wykorzystamy zależność (2-24) opisującą współczynniki odbicia $\Gamma(l)$ aby określić wartości amplitud napięcia i prądu na linii. Prowadzi to w najczęstszym przypadku, gdy zaniedbujemy straty, do zależności (2-30):

$$U(l) = U_P e^{j\beta l} (1 + \Gamma_L e^{-j2\beta l}); \quad (2-30)$$

$$I(l) = \frac{U_P}{Z_0} e^{j\beta l} (1 - \Gamma_L e^{-j2\beta l});$$

Zauważmy dalej, że na końcu linii napięcie U_L jest proporcjonalne do $(1 + \Gamma_L)$, a prąd I_L jest proporcjonalny do $(1 - \Gamma_L)$. Wskazy napięcia U_L i prądu I_L pokazane są na rys. 2.6B. Kąt fazowy ϕ_L między amplitudami napięcia U_L i prądu I_L zależy od impedancji obciążenia:

$$\phi_L = \arctg \frac{X_L}{R_L}; \quad (2-31)$$

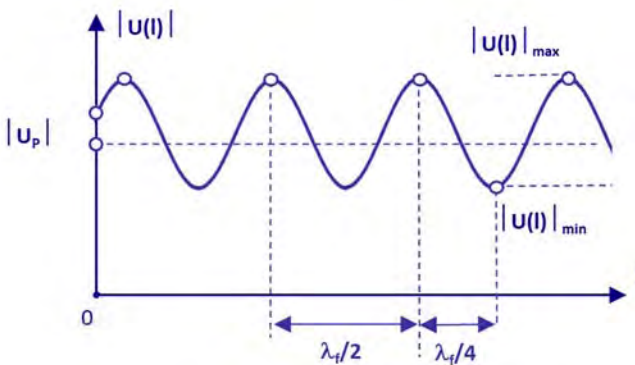
Gdy impedancja obciążenia jest rzeczywista, prąd I_L i napięcie U_L są w fazie.

Moduł napięcia $|U(l)|$ można wyznaczyć, wykorzystując zależności (2-30). Dla linii bezstratnej otrzymujemy zależność (2-32), w której ϕ_L jest argumentem współczynnika odbicia Γ_L :

$$|U(l)| = |U_p| \sqrt{1 + |\Gamma_L|^2 + 2|\Gamma_L| \cos(2\beta l - \varphi_L)}; \quad (2-32)$$

Przykład przebiegu $|U(l)|$ pokazano na rys. 2.7. Ponieważ przyjęto założenie bezstratności linii, to wszystkie maksymalne i minimalne wartości napięcia są sobie równe. Na podstawie wykresu można sformułować konkluzję, że napięcie $|U(l)|$ określone wzdłuż linii długiej jest okresową funkcją odległości o okresie równym połowie długości fali $\lambda_f/2$, co oznacza, że:

- ✓ odległość między kolejnymi maksimami lub minimami równa jest $\lambda_f/2$,
- ✓ odległość między maksimum a minimum równa jest $\lambda_f/4$.



Rys. 2.7. Moduł $U(l)$ napięcia wzdłuż linii długiej.

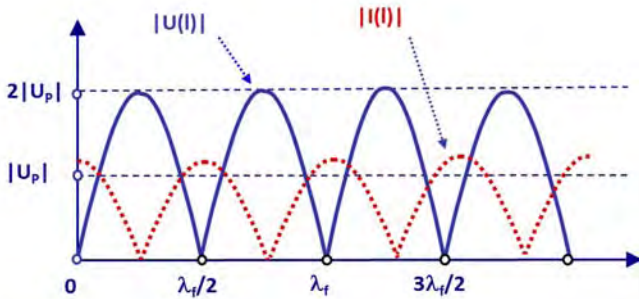
W przypadku gdy $|\Gamma| = 1$ amplitudy fali padającej i odbitej są sobie równe i mamy do czynienia z czystą falą stojącą. Moduł napięcia wzdłuż linii zapisze się dla przypadku $\varphi_L = 0$ następująco:

$$|U(l)| = 2|U_p| |\cos(\beta l)|; \quad (2-33)$$

Moduł prądu wzdłuż linii opisuje zależność (2-35):

$$|I(l)| = 2 \frac{|U_p|}{Z_0} |\sin(\beta l)|; \quad (2-34)$$

Na rys. 2.8 pokazano przebiegi modułów $U(l)$ i $I(l)$ dla czystej fali stojącej. Jak widać, wartości napięć i prądów okresowo osiągają wartości maksymalne i spadają do zera, przy czym maksymalnej wartości napięcia towarzyszy zero wartości prądu i na odwrót. Kolejne zera oddalone są o pół fali.



Rys. 2.8. Napięcie i prąd wzdłuż linii dla czystej fali stojącej.

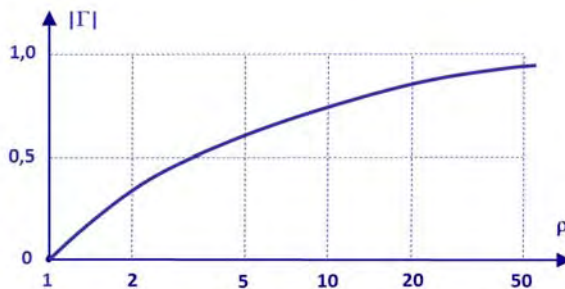
Ważnym parametrem opisującym rozkład napięcia wzdłuż linii i tym samym stan dopasowania obciążenia do impedancji charakterystycznej Z_0 jest **współczynnik fali stojącej**. Zgodnie z definicją współczynnik fali stojącej ρ jest stosunkiem maksymalnej i minimalnej wartości modułu napięcia na linii.

$$\rho = \frac{|U(l)|_{max}}{|U(l)|_{min}} = \frac{1 + |\Gamma|}{1 - |\Gamma|} \geq 1; \quad (2-35)$$

Pamiętajmy, że współczynnik odbicia Γ daje – jako liczba zespolona – dwie informacje o obciążeniu, natomiast wartość współczynnika fali stojącej ρ tylko jedną. Między tymi wielkościami istnieje prosty i oczywisty związek:

$$|\Gamma| = \frac{\rho - 1}{\rho + 1}; \quad (2-36)$$

Graficzna ilustracja powyższej zależności pokazana jest na rys. 2.9.



Rys. 2.9. Zależność modułu $|\Gamma|$ współczynnika odbicia od ρ .

Omówimy dwa charakterystyczne przypadki obciążenia linii.

Przypadek 1.

Na końcu przewodnicy umieszczono rezystancję $R_L > Z_0$. Współczynnik fali stojącej dla takiego obciążenia obliczamy w prosty sposób, jako $\rho = R_L/Z_0$.

Przypadek 2.

Na końcu przewodnicy umieszczono rezystancję $R_L < Z_0$. Współczynnik fali stojącej dla takiego obciążenia obliczamy jako $\rho = Z_0/R_L$.

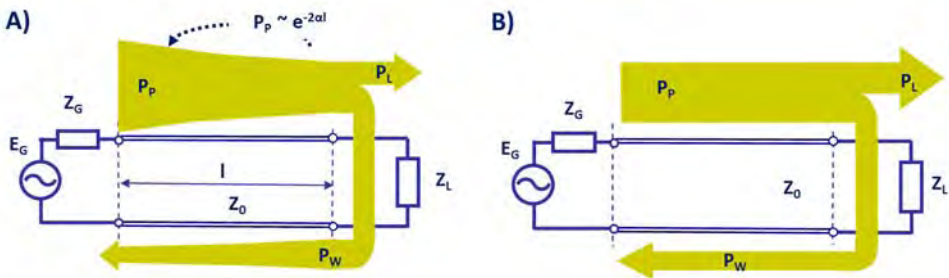
2.4. Przepływ mocy

2.4.1. Moce fal

Przedstawione równaniami (2-16) i (2-17) rozwiązania równania telegrafistów opisują dwie fale wzbudzone w linii długiej łączącej generator z obciążeniem. W rozwiązaniach występują amplitudy U_P i U_W napięć fal: biegnącej w stronę obciążenia i odbitej od niego, biegnącej w stronę generatora. Aby opisać problem propagowanych w układzie mocy, oznaczono na rys. 2.10 poziomy mocy kolorowymi paskami. Celem rozważań będzie określenie mocy występujących w tym prostym układzie. Wyznamy:

- ✓ moce fal pierwotnej P_P i odbitej P_W ,
- ✓ moc P_L wydzieloną w obciążeniu,
- ✓ maksymalną moc P_{GMAX} jaką może dostarczyć generator,
- ✓ warunek, przy którym to może nastąpić.

Na rys. 2.10 przedstawiono raz jeszcze opisywany układ generator – linia długa – obciążenie z zaznaczeniem mocy, które mają być wyznaczone. W układzie tym generator reprezentowany jest przez idealne źródło o parametrach E_G i Z_G , obciążenie charakteryzowane jest przez impedancje Z_L , Y_L bądź przez współczynnik odbicia Γ_L .



Rys. 2.10. Moce fal przepływających w układzie generator – linia długa – obciążenia. **A)** Przypadek linii długiej ze stratami. **B)** Przypadek linii długiej bezstratnej.

Na rys. 2.10A przedstawiono przypadek linii długiej ze stratami, gdy $\alpha > 0$. Fala wzbudzona przez generator o mocy P_P porusza się w stronę obciążenia, zmniejszając z powodu tłumienia wykładniczo swoją moc, proporcjonalnie do $\exp(-2\alpha l)$. Fala odbita od obciążenia o mocy P_W także jest wykładniczo tłumiona, gdy porusza się w stronę generatora.

Na rys. 2.10B pokazano przypadek, gdy $\alpha = 0$ i linia długa jest bezstratna. W każdym punkcie linii długiej obserwujemy falę biegnącą do obciążenia o mocy P_P i falę wtórną biegnącą do generatora o mocy P_W . Jako punkt wyjścia przyjmujemy warunki dopasowanego obciążenia:

$$Z_L = Z_0; \quad \Gamma_L = 0; \quad U_W = 0; \quad (2-37)$$

W obwodzie płynie fala pierwotna do obciążenia i nie ma fali odbitej. Napięcie na zaciskach obciążenia równe jest:

$$U_L = U_P(1 + \Gamma_L) = U_P; \quad (2-38)$$

Moc P_L wydzielona w obciążeniu równa jest wtedy:

$$P_L = \frac{|U_P|^2}{2Z_0} = \frac{|U_P|^2 Y_0}{2}; \quad (2-39)$$

Moc wydzielona w obciążeniu jest mocą P_P niesioną przez falę pierwotną, nie ma fali odbitej, czyli moc fali pierwotnej opisana jest następującym wzorem:

$$P_P = \frac{|U_P|^2}{2Z_0}; \quad (2-40)$$

Przez analogię moc fali odbitej P_W :

$$P_W = \frac{|U_W|^2}{2Z_0}; \quad (2-41)$$

2.4.2. Moc wydzielona w obciążeniu w warunkach niedopasowania

Do rozważań w tym punkcie przyjmujemy najpierw warunki (2-42).

$$Z_L \neq Z_0; \quad Z_G = Z_0; \quad (2-42)$$

Obciążenie jest niedopasowane i część mocy P_P niesionej przez falę pierwotną / padającą zostaje odbita i jako moc P_W wędruje w stronę generatora. Moc fali wracającej do generatora zostaje przez generator zaabsorbowana, gdyż $Z_G = Z_0$. Oznaczając przez P_L moc wydzieloną w obciążeniu, można napisać oczywisty bilans mocy:

$$P_L = P_P - P_W; \quad (2-43)$$

Moce: padająca i wydzielona w obciążeniu zależą od wartości współczynnika odbicia, co opisuje zależność (2-44).

$$P_L = P_P \left(1 - \frac{|U_W|^2}{|U_P|^2} \right) = P_P (1 - |\Gamma_L|^2) = P_P \frac{4}{\rho + \frac{1}{\rho} + 2}; \quad (2-44)$$

Jak widać, argument współczynnika odbicia nie ma wpływu na bilans mocy. Do powyższej zależności można dopisać jeszcze jedną, oczywistą:

$$\frac{P_W}{P_P} = |\Gamma_L|^2; \quad (2-45)$$

Stosunek mocy odbitej P_W do mocy padającej P_P jest zależny tylko od modułu współczynnika odbicia, co oznacza, że znajomość współczynnika fali stojącej ρ pozwala określić stosunki wszystkich trzech mocy.

Specjalną uwagę należy poświęcić problemowi obliczenia mocy P_L wydzielonej w obciążeniu, w przypadku gdy niedopasowane są obciążenie i generator. Miarą niedopasowania obciążenia jest współczynnik Γ_L . Przez analogię, miarą odbić fali powracającej do generatora jest współczynnik Γ_G .

$$\Gamma_G = \frac{Z_G - Z_0}{Z_G + Z_0}; \quad (2-46)$$

Przypadek obustronnego niedopasowania jest często spotykany. Najważniejszym skutkiem obustronnego niedopasowania jest zależność poziomu mocy fali biegnącej od generatora od długości l linii długiej. Oznaczmy moc fali biegnącej od generatora do dopasowanego obciążenia jako P_{P0} , a moduł amplitudy fali pierwotnej przez $|U_{P0}|$. W warunkach obustronnego niedopasowania obie te wielkości są funkcją długości l linii długiej.

$$|U_P| = \frac{|U_{P0}|}{|1 - \Gamma_G \Gamma_L e^{-j2\beta l}|}; \quad (2-47)$$

$$|P_P| = \frac{|P_{P0}|}{|1 - \Gamma_G \Gamma_L e^{-j2\beta l}|^2}; \quad (2-48)$$

Jak widać z otrzymanych zależności, odległość l między generatorem a obciążeniem wpływa w istotny sposób na wartość amplitudy fali, jaka ustali się na skutek odbić od obciążenia i generatora. Moc P_P niesiona przez falę zmieni się w jeszcze szerszych granicach, gdyż z kwadratem amplitudy $|U_{P0}|$. W zależności od długości l linii moc P_P zmienia się między wartościami $P_{P_{MAX}}$ i $P_{P_{MIN}}$. Można znaleźć ich stosunek:

$$\frac{P_{P_{MAX}}}{P_{P_{MIN}}} = \left(\frac{1 + |\Gamma_G \Gamma_L|}{1 - |\Gamma_G \Gamma_L|} \right)^2; \quad (2-49)$$

Im silniejsze jest obustronne niedopasowanie, im większą wartość ma moduł $|\Gamma_G \Gamma_L|$, w tym szerszych granicach zmienia się moc niesiona przez falę padającą na obciążenie i tym samym moc P_L wydzielona w obciążeniu. Moc tę obliczamy, opierając się na zależności (2-50):

$$P_L = P_{P0} \frac{1 - |\Gamma_L|^2}{|1 - \Gamma_G \Gamma_L e^{-j2\beta l}|^2}; \quad (2-50)$$

Zależność powyższa jest podstawą do wprowadzenia pojęcia **dopasowania energetycznego**.

2.4.3. Dopasowanie energetyczne i moc dysponowana generatora

Rozważymy następujący problem: bezstratna linia długa zasilana jest przez generator nie-dopasowany, dla którego $|\Gamma_G| > 0$. Jak dobrać warunki obciążenia generatora, to znaczy jak dobrać $|\Gamma_L|$ i długość linii, aby w obciążeniu wydzielita się maksymalna moc?

Wykazaliśmy, że gdy generator jest dopasowany i absorbuje moc odbitej od obciążenia fali, to warunkiem maksymalizacji wydzielonej w obciążeniu mocy jest jego dopasowanie, gdy $Z_L = Z_0$. Jednakże w przypadku niedopasowanego generatora warunek maksymalizacji mocy w obciążeniu jest nieco inny. Zgodnie z teorią obwodów w układzie pokazanym na rys. 2.1B moc wydzielona w obciążeniu Z_L będzie maksymalna, gdy impedancja obciążenia będzie równa sprzężonej wartości impedancji wewnętrznej Z_G generatora:

$$Z_L = Z_G^*; \quad (2-51)$$

Gdy między generatorem a obciążeniem umieszczono linię długą, to jej obecność ma wpływ na warunki transmisji mocy. Można wykazać, że moc P_L wydzielona w obciążeniu jest maksymalna, gdy spełniony jest następujący warunek:

$$\Gamma_L e^{-j2\beta l} = \Gamma_G^*; \quad (2-52)$$

Warunek ten nazywamy warunkiem dopasowania energetycznego. Oznacza on, że współczynnik odbicia „widziany” przez generator w jego wrotach wyjściowych powinien być równy sprzężonej wartości jego własnego współczynnika odbicia. W warunkach dopasowania energetycznego moc P_{GA} wydzielona w umieszczonym na końcu przewodnicy obciążeniu jest maksymalna i nazywana mocą dysponowaną generatora (ang. *available power*).

$$P_{GA} = P_{LMAX} = \frac{P_{P0}}{1 - |\Gamma_G|^2}; \quad (2-53)$$

Pojęcie „dopasowania” ma dwojakie znaczenia.

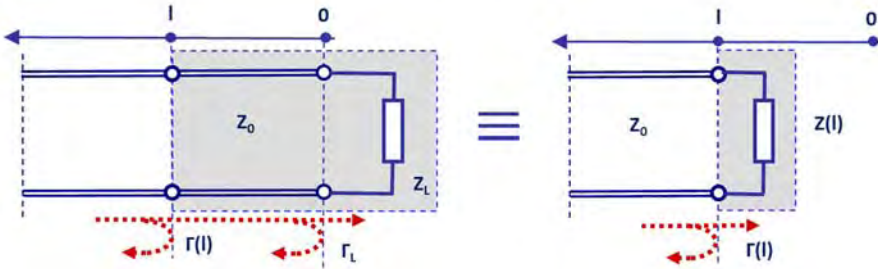
- ✓ Dopasowanie impedancji obciążenia Z_L do impedancji charakterystycznej Z_0 przewodnicy falowej, co jest równoznaczne **warunkowi bezodbiciowości**.
- ✓ Dopasowanie impedancji obciążenia Z_L do impedancji wewnętrznej generatora Z_G , co jest **warunkiem dopasowania energetycznego**.

Powinniśmy umieć odróżniać opisane warunki dopasowania, i analizując kolejne problemy, właściwie je interpretować. Warunki dopasowania omawiane będą w rozdziale 4, gdyż umiejętność dopasowania odgrywa w technice mikrofalowej dużą rolę.

2.5. Transformacja impedancji

2.5.1. Równanie transformacji impedancji – linia bezstratna

Odpowiemy teraz na pytanie, jak zmieni się impedancja Z_L przez dodanie odcinka przewodnicy falowej o odpowiedniej długości l i przez dobór jej impedancji charakterystycznej Z_0 – rys. 2.11. Rozwiązanie tego problemu oznacza, że impedancję Z_L i odcinek przewodnicy o długości l i impedancji charakterystycznej Z_0 zastąpimy teraz impedancją $Z(l)$ o takiej wartości, że rozkłady prądów i napięć na lewo od płaszczyzny l nie ulegną zmianie.



Rys. 2.11. Odcinek przewodnicy falowej o długości l i impedancji charakterystycznej Z_0 , zakończony impedancją Z_L reprezentowany przez impedancję $Z(l)$.

Aby rozwiązać postawiony problem, należy wyznaczyć wartości napięcia $U(l)$ i prądu $I(l)$ w płaszczyźnie odległej o l od końca. Uda się to zrobić, jeśli odcinek przewodnicy o długości l i impedancji charakterystycznej Z_0 oraz impedancję Z_L zastąpimy impedancją $Z(l)$, równą:

$$Z(l) \equiv Z(l, Z_0, Z_L) = \frac{U(l)}{I(l)}; \quad (2-54)$$

Wykorzystamy tutaj znane związki między współczynnikiem odbicia $\Gamma(l)$ a napięciem i prądem. Otrzymamy wtedy:

$$Z(l) = Z_0 \frac{1 + \Gamma(l)}{1 - \Gamma(l)}; \quad (2-55)$$

Przyjmijmy dalej, że znamy wartość współczynnika odbicia na końcu linii $\Gamma_L(Z_L)$, a linia jest bezstratna, to znaczy stała propagacji jest czysto urojona $\gamma = j\beta$. Wtedy:

$$Z(l) = Z_0 \frac{1 + \Gamma_L e^{-j2\beta l}}{1 - \Gamma_L e^{-j2\beta l}}; \quad (2-56)$$

Teraz należy wykorzystać znaną z teorii liczb zespolonych tożsamość $e^{jx} = \cos x + j\sin x$. Po przekształceniach otrzymujemy **równanie transformacji impedancji** z tangensami:

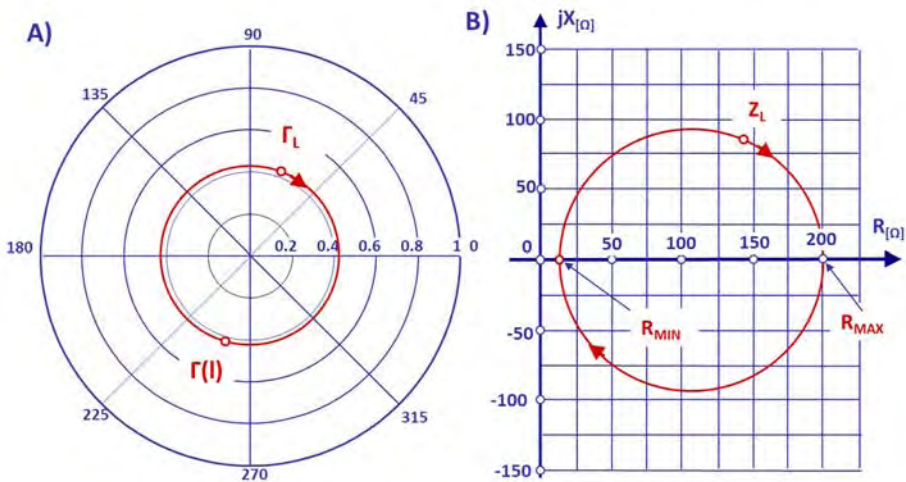
$$Z(l) = Z_0 \frac{Z_L + jZ_0 \operatorname{tg}(\beta l)}{Z_0 + jZ_L \operatorname{tg}(\beta l)}; \quad (2-57)$$

Odwrotność wyrażenia (2-57) daje admitycję $Y(l)$ i po niewielkich przekształceniach otrzymuje się podobne wyrażenie na transformację admitycji $Y(l)$ wzdłuż bezstratnej przewodnicy falowej o admitycji charakterystycznej Y_0 i długości l .

$$Y(l) = Y_0 \frac{Y_L + jY_0 \operatorname{tg}(\beta l)}{Y_0 + jY_L \operatorname{tg}(\beta l)}; \quad (2-58)$$

Analiza powyższych zależności prowadzi do następujących wniosków:

- ✓ impedancja $Z(l)$ jest funkcją aż trzech zmiennych: $Z_L, Z_0, \beta l$.
- ✓ impedancja $Z(l)$ jest okresową funkcją odległości, $Z(l) = Z(l + \lambda/2)$, a okresem jest pół fali $\lambda/2$.



Rys. 2.12. Ilustracja transformacji impedancji obciążenia. **A)** Transformacja na płaszczyźnie współczynnika odbicia $\Gamma(l)$. **B)** Transformacja na płaszczyźnie impedancji $R + jX$.

Na rys. 2.12 pokazano ilustrację graficzną procesu transformacji impedancji przy odsuwaniu się od obciążenia w stronę generatora (patrz rys. 2.6). Na rys. 2.12A widzimy klasyczną transformację współczynnika odbicia $\Gamma(l)$. Jak przy tej transformacji zmienia się impedancja $Z(l)$ pokazuje rys. 2.12B. Okrąg transformacji umieszczono na płaszczyźnie impedancji. Zaznaczono charakterystyczne punkty tego okręgu: R_{MAX} i R_{MIN} . W tych punktach impedancja $Z(l)$ jest czysto rzeczywista i równa ρZ_0 i Z_0/ρ .

Zależność (2-57) wskazuje na bardzo interesujące właściwości linii długiej, umożliwiające komponowanie żądanych parametrów obwodów, co poznamy w kolejnych punktach.

2.5.2. Równanie transformacji impedancji – szczególne przypadki

Równanie transformacji impedancji, zwane także równaniem z tangensami, odgrywa ważną rolę w procesie obliczania parametrów obwodów mikrofalowych. Opracowano

wiele programów obliczeń obwodów z liniami długimi. Zapoznamy się z jednym z nich w rozdziale 4. Aby lepiej zrozumieć proces transformacji impedancji wzdłuż linii długiej, przedstawimy kilka charakterystycznych przypadków.

Przypadek 1.

Linia długa jest zakończona obciążeniem o impedancji $Z_L = Z_0$. W tym przypadku, zgodnie z (2-57), $Z(l) = Z_0$.

Wniosek: w każdym punkcie linii impedancja ma tę samą wartość.

Przypadek 2.

Obliczymy impedancję w odległości równej wielokrotności pół fali $l = n\lambda/2$ od obciążenia. Łatwo zauważyć, że $Z(l = n\lambda/2) = Z_L$; impedancja okresowo przyjmuje taką wartość, jaką ma na końcu linii.

Wniosek: linia o długości $n\lambda/2$ jest – z punktu widzenia transformacji impedancji – przezroczysta.

Przypadek 3.

Obliczymy impedancję w odległości równej ćwierć fali $l = \lambda/4$ od obciążenia.

$$Z(l = \lambda/4) = \frac{Z_0^2}{Z_L}; \quad (2-59)$$

Powyższe równanie wskazuje, że linia o długości $l = (2n - 1)\lambda/4$ ma specjalne właściwości i dlatego nazywana jest transformatorem ćwierćfalowym.

Wnioski:

- ✓ Transformator ćwierćfalowy jest inwerterem impedancji. Zamienia on duże / małe wartości rezystancji na rezystancje małe / duże.
- ✓ Transformator ćwierćfalowy zamienia impedancje obciążenia o charakterze indukcyjnym / pojemnościowym na impedancje wejściowe pojemnościowe / indukcyjne.
- ✓ Jeśli obciążeniem linii jest obwód rezonansu szeregowego, to impedancja wejściowa zachowuje się jak dla obwodu rezonansu równoległego i *vice versa*.

Przypadek 4.

W ogólnym przypadku obciążenia linii impedancją $Z_L = R_L + jX_L$, gdy $R_L > 0$, to moduł współczynnika odbicia $|\Gamma_L| < 1$. W miarę odsuwania się od obciążenia zmienia się kąt fazowy współczynnika odbicia. Gdy odsuniemy się na odległość l_1 , dla której spełniony jest warunek (2-60):

$$\varphi_L - 2\beta l_1 = 2n\pi; \quad (2-60)$$

to napięcie $U(l_1)$ i prąd $I(l_1)$ są w fazie. Oznacza to, że impedancja $Z(l_1)$ jest czysto rzeczywista i równa:

$$Z(l_1) = Z_0 \frac{1 + |\Gamma_L|}{1 - |\Gamma_L|} = \rho Z_0; \quad (2-61)$$

gdzie ρ jest współczynnikiem fali stojącej na linii. Podobnie, gdy odsuniemy się na odległość l_2 , dla której spełniony jest warunek (2-62):

$$\varphi_L - 2\beta l_2 = (2n + 1)\pi; \quad (2-62)$$

sytuacja powtarza się i także wtedy napięcie $U(l_1)$ i prąd $I(l_1)$ są w fazie, a więc:

$$Z(l_2) = Z_0 \frac{1 - |\Gamma_L|}{1 + |\Gamma_L|} = \frac{Z_0}{\rho}; \quad (2-63)$$

Oba miejsca l_1 i l_2 oddalone są od siebie o ćwierć długości fali $\lambda/4$. Te dwa przypadki mogą być wykorzystane przy projektowaniu obwodów dopasowujących.

2.5.3. Linie zwarta i rozwarta na końcu

Rozważmy efekty zachodzące w linii długiej zwartej na końcu, co oznacza, że: $Z_L = 0$ i $\Gamma_L = -1$. Zgodnie z zależnością (2-64) impedancja wejściowa linii zwartej na końcu jest w każdym miejscu czystą reaktancją:

$$Z(l) = jX(l) = jZ_0 \operatorname{tg}\beta l; \quad (2-64)$$

Prąd $I(l)$ i napięcie $U(l)$ są przesunięte w fazie o $\pi/2$, a kolejne zera napięcia lub prądu odległe są od siebie o $\lambda/2$. Możemy napisać:

$$I(l) = I_L \cos\beta l; \quad (2-65)$$

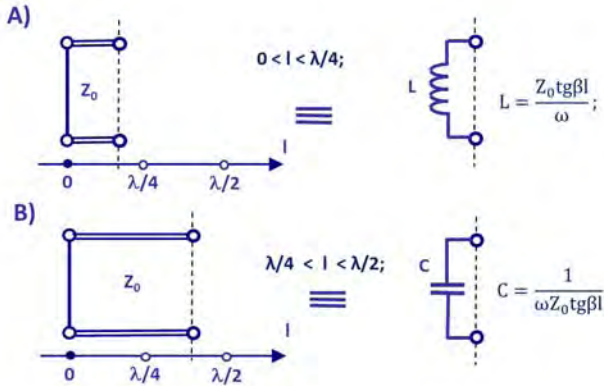
$$U(l) = jI_L Z_0 \sin\beta l;$$

Kąt fazowy między prądem $I(l)$ i napięciem $U(l)$ jest cały czas równy 90° , jednakże co ćwierć fali zmienia się jego znak. Dlatego $X(l)$ ma dla pewnych zakresów l charakter indukcyjny, dla innych pojemnościowy, co pokazano na rys. 2.13.

Zastępcze wartości indukcyjności L i pojemności C znajdujemy ze wzorów:

$$L = \frac{Z_0 \operatorname{tg}\beta l}{\omega}; \quad C = \frac{1}{\omega Z_0 \operatorname{tg}\beta l}; \quad (2-66)$$

Dla zakresów częstotliwości w sąsiedztwie $\beta l = (2n - 1)\pi/2$ (nieparzysta liczba ćwiartek fali) linia zwarta na końcu zachowuje się jak obwód rezonansu równoległego.



Rys. 2.13. Linia długa zwarta na końcu jako element obwodu. **A)** Gdy $l < \lambda/4$, to odcinek linii reprezentuje reaktancja indukcyjna. **B)** Gdy $\lambda/4 < l < \lambda/2$, to odcinek linii reprezentuje reaktancja pojemnościowa.

Dla zakresów częstotliwości w sąsiedztwie $\beta l = n\pi$ (wielokrotność połowy fali) linia zwarta na końcu zachowuje się jak obwód rezonansu szeregowego.

Impedancja wejściowa linii rozwartej na końcu zapisuje się zależnością:

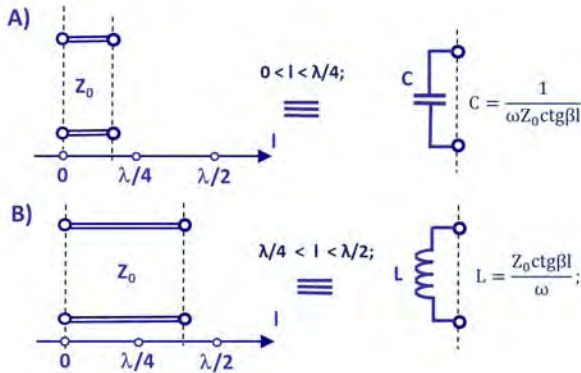
$$Z(l) = jX(l) = -jZ_0 \operatorname{ctg} \beta l; \quad (2-67)$$

Charakter zmian prądu $I(l)$ i napięcia $U(l)$ jest taki, jak w przypadku linii zwartej na końcu, z tą różnicą, że na końcu linii rozwartej $I(l=0) = 0$. Prąd i napięcie w każdym miejscu linii przesunięte są w fazie o $\pi/2$. Charakter zmian impedancji jest taki, jak dla linii zwartej, tylko przesunięty o $\lambda/4$. W zależności od l linia raz jest pojemnością, raz indukcyjnością – rys. 2.14.

Podobnie jak w przypadku linii zwartej, linia rozwarta może realizować pojemności i indukcyjności, zależnie od odległości od rozwarcia. Wartości zastępczych pojemności i indukcyjności znaleźć można z równań (2-68).

$$L = \frac{Z_0 \operatorname{ctg} \beta l}{\omega}; \quad C = \frac{1}{\omega Z_0 \operatorname{ctg} \beta l} \quad (2-68)$$

Dla zakresów częstotliwości w sąsiedztwie $\beta l = (2n - 1)\pi/2$ (nieparzysta liczba ćwiartek fali) linia rozwarta na końcu zachowuje się jak obwód rezonansu szeregowego.



Rys. 2.14. Linia długa rozwarta na końcu jako element obwodu. **A)** Gdy $l < \lambda/4$, to odcinek linii reprezentuje reaktancja pojemnościowa. **B)** Gdy $\lambda/4 < l < \lambda/2$, to odcinek linii reprezentuje reaktancja indukcyjna.

Dla zakresów częstotliwości w sąsiedztwie $\beta l = n\pi$ (wielokrotność połowy fali) linia rozwarta na końcu zachowuje się jak obwód rezonansu równoległego.

2.6. Podsumowanie

Konstruowane współcześnie obwody i układy elektroniczne, zarówno dla potrzeb informatyki, jak i telekomunikacji, pracują w pasmach mikrofalowych i fal milimetrowych. Rozmiary połączeń w takim układzie, mimo miniaturyzacji, są porównywalne, a nawet większe od długości fali. Skutkiem tego jest konieczność wykorzystania opisu linii jako elementu obwodu, by właściwie policzyć parametry takiego układu.

W wielu przypadkach linią długą jest odcinek przewodnicy falowej, której zadaniem jest dostarczyć do obciążenia / odbiornika jak największą moc z generatora / nadajnika. Wykazaliśmy, że na linii takiej powstają dwie fale biegnące do i od obciążenia. Obciążenie linii długiej odbiera energię fali biegnącej w jego stronę i decyduje o powstaniu fali odbitej, powracającej do generatora. Obliczenie procesu transmisji mocy wymaga znajomości nie tylko impedancji obciążenia, ale parametrów linii długiej: impedancji charakterystycznej oraz stałej propagacji.

Impedancja widziana w pewnej odległości od końca linii długiej jest różna od tej umieszczonej na końcu. Właściwości modyfikowania impedancji opisane są równaniem transformacji. Ta właściwość pozwala budować obwody o prawie dowolnej impedancji. Jak wykazano, odcinki linii długiej zwartej lub rozwartej na końcu zachowują się jak pojemność bądź indukcyjność. Obliczenia są zwykle wykonywane przez odpowiednio przygotowany program rachunkowy.